



## اثر محل صندلی بر دامنهٔ حرکتی مفصل‌ها و سرعت انقباض عضله‌های پا در دوچرخه ثابت: مطالعهٔ پارامتریک

الهام حضرتی<sup>۱</sup>، محمود رضا آذغانی<sup>۲\*</sup>

۱- دانش آموخته کارشناسی ارشد، مهندسی پزشکی، دانشگاه صنعتی سپهند، سپهند، تبریز

۲- دانشیار، مهندسی پزشکی، دانشگاه صنعتی سپهند، سپهند، تبریز

\* تبریز؛ صندوق پستی ۵۱۳۳۵-۱۹۹۶ azghani@sut.ac.ir

| اطلاعات مقاله                | چکیده   |
|------------------------------|---|
| مقاله پژوهشی کامل            | پدال زدن به عنوان یکی از روش‌های درمانی برکاربرد در بازتوانی شناخته شده است؛ که تحت تأثیر عامل‌های مختلفی قرار می‌گیرد. هدف در این مطالعه، بررسی اثر تغییر موقعیت و ارتفاع صندلی (به ترتیب، فاصلهٔ افقی و عمودی صندلی تا پدال) در محدودهٔ محل‌های ممکن‌های پدال زدن (محدودهٔ ارتفاع صندلی: 49-80٪ طول پا) بر دامنهٔ حرکتی مفصل‌ها و سرعت انقباض عضله‌های اندام تحتانی است. بدین‌منظور، از مدل اسکلتی-عضلانی ارایه شده در نرم‌افزار آنی‌بادی استفاده شد. شرایط پدال زدن در دوچرخهٔ ثابت در مدل فراهم شد (طول بازوی پدال و نزدیک پدال زدن به ترتیب، 17.5 cm و 80 rpm). نتایج نشان داد که محدودهٔ حرکتی مفصل‌های مچ پا، زانو و ران به ترتیب 11.08-37.54 (انحراف میانی: 69.61-80.58)، 4.02-9.76 (0.03-1.86) و 42.89-46.13 (انحراف میانی: 2.89-4.13) است. اثر تغییر ارتفاع صندلی بر محدودهٔ حرکتی مفصل مچ پا>زانو>ران و اثر تغییر موقعیت صندلی بر محدودهٔ حرکتی مفصل زانو>ران>مچ پا است. با افزایش ارتفاع صندلی، محدودهٔ حرکتی مفصل‌های مچ پا و زانو به طور قابل توجهی افزایش یافته. همیستگی مشیت بین تغییر زاویهٔ مفصل‌های مچ پا-زانو، مچ پا-ران و زانو-ران همراهی و همکاری مفصل‌ها در طول سیکل پدال زدن را نشان داد. سرعت انقباض عضله‌های اندام تحتانی تحت تأثیر تغییر محل صندلی قرار می‌گیرد. به ویژه عضله‌های گروه مچ پا، زانو و دومفصلي با تغییر محل صندلی در محل‌های ممکنه، در بازه‌ی بزرگی تغییر می‌کنند. |
| دریافت: ۱۶ دی ۱۳۹۶           | پدال زدن  |
| پذیرش: ۰۴ اسفند ۱۳۹۶         | محل صندلی   |
| ارائه در سایت: ۱۰ خرداد ۱۳۹۷ | دامنهٔ حرکتی مفصل‌ها  |
| کلید واژگان:                 | سرعت انقباض عضله‌ها   |
| شبیه‌سازی                    |   |
| پدال زدن                     |   |
| محل صندلی                    |   |
| دامنهٔ حرکتی مفصل‌ها         |   |
| سرعت انقباض عضله‌ها          |   |

## Saddle place effect on the leg joints range of motion and muscles contraction velocity in ergometer: parametric study

Elham Hazrati, Mahmood Reza Azghani\*

Department of Biomechanics, Sahand University of Technology, Sahand, Tabriz, Iran  
\* P.O.B. 51335-1996 Tabriz, Iran, azghani@sut.ac.ir

### ARTICLE INFORMATION

Original Research Paper  
Received 06 January 2018  
Accepted 23 February 2018  
Available Online 31 May 2018

Keywords:  
Simulation  
Pedaling  
Saddle Place  
Joints Range of Motion  
Muscles Contraction Velocity

### ABSTRACT

Pedaling is recognized as one of the most widely used therapies in rehabilitation. Which is influenced by various factors. Studying the effect of saddle position and saddle height (horizontal and vertical distance of saddle from pedal, respectively) changes in the pedaling feasible places range (saddle height range: 49-80% of leg length) on the leg joints range of motion and muscles contraction velocity are the purposes of this study. The pedaling conditions with ergometer are obtained in the model (crank arm length and pedaling rate are 17.5 cm and 80 rpm, respectively). Results indicate that ankle, knee and hip joints range of motion are 11.08-37.54 (SD: 0.03-1.86), 69.61-80.58 (SD: 4.02-9.76) and 42.89-46.13 (SD: 0.07-2.89), respectively. The effect of saddle height changes on ankle>knee>hip and the effect of saddle position changes on knee>hip>ankle range of motion. By increasing the saddle height, ankle and knee joints range of motion increase significantly. The positive correlation between ankle-knee, ankle-hip and knee-hip joints, show the coordination and the cooperation of joints during cycling. The saddle place changes affect the contraction velocity of lower limb muscles. In particular, by changing the saddle place in the feasible places, the contraction velocity of ankle, knee and biarticular muscle groups change in a wide range.

مفصلی [۳] یا آسیب‌های پاتلوفمورال<sup>۱</sup> [۵,۴]، با هدف افزایش محدودهٔ حرکتی مفصل‌ها و قدرت عضله‌ها تجویز می‌شود [۶]. علاوه براینکه، این فعالیت فیزیکی کمک می‌کند تا بازتوانی سریع‌تر صورت گیرد، در کنترل تنش‌های اندام تحتانی کمک کننده است [۶]. پدال زدن به عنوان یک تمرين

- مقدمه پدال زدن یک شکل بسیار عمده از تمرين‌ها در ورزش و بازتوانی است [۱]؛ که به عنوان یکی از روش‌های درمانی مورد قبول در بازتوانی بیماران سکته‌ای و آسیب نخاعی [۲]، بعد از جراحی ران، زانو و مچ پا [۱]، بیماران با آرتروز

<sup>۱</sup> Patellofemoral

## ۲- روش کار

در این مطالعه، مدل اسکلتی-عضلانی سه بعدی از سیستم حرکتی انسان ارایه شده در نرم‌افزار انی‌بادی<sup>۴</sup> استفاده شد. این مدل براساس داده‌های آنتروپومتری ۵۰٪ میانی مردان اروپایی (جرم، قد و طول پای بدن به ترتیب ۷۵ kg و 176 cm و 100 cm) است. مفصل‌های ران، زانو و مچ پا در این مدل به ترتیب دارای ۱، ۳ و ۲ درجه آزادی هستند (مفصل ران: خم/باز شدن، دور/نژدیک شدن و چرخش داخلی/خارجی به ترتیب در صفحه‌ی  $yz$  و  $xz$  و مفصل زانو: خم/باز شدن در صفحه‌ی  $zx$  و مفصل مچ پا: خم/باز شدن و دور/نژدیک شدن به ترتیب در صفحه‌ی  $yx$  و  $yz$ ). در اندام تحتانی مدل، ۴۲ جفت عضله براساس مدل سه‌جزوی هیل شبیه‌سازی شده است (عضله‌های پهن مثل سرینی کوچک<sup>۵</sup>، سرینی میانی<sup>۶</sup>، سرینی بزرگ<sup>۷</sup> و نژدیک کننده بزرگ<sup>۸</sup> هر کدام ۳ تار مدل شده‌اند).

قابل ذکر است که حرکت خم/باز شدن مفصل‌ها نسبت به حرکت‌های دور/نژدیک شدن و چرخش داخلی/خارجی در طول پدال زدن غالب است. بدین ترتیب، در مطالعه‌ی حاضر زاویه‌ی خم/باز شدن مفصل‌های ران (زاویه‌ی بین راستای عضوهای لگن و ران)، زانو (زاویه‌ی بین راستای عضوهای ران و ساق) و مچ پا (زاویه‌ی بین راستای عضوهای ساق و پا) در نظر گرفته شدند (شکل ۱).

نرم‌افزار انی‌بادی به منظور محاسبه‌ی نیروهای داخلی (نیروی عضله‌ها و مفصل‌ها) در تعادل با بارهای خارجی، از روش بهینه‌سازی (کمینه نمودن تابع هدف چندجمله‌ای از درجه‌ی ۳) بهره می‌گیرد؛ به بیان دیگر این نرم‌افزار از روش دینامیک معکوس استفاده می‌کند [23,22]. به دلیل مطالعه‌ی سینماتیک مفصل‌های اندام تحتانی در مطالعه‌ی حاضر، فقط از تحلیل سینماتیکی این نرم‌افزار استفاده شد.

حرکت پا و گشتاور میل‌لنگ به عنوان ورودی‌های مستقل از مسئله‌ی بهینه‌سازی پدال زدن هستند. حرکت پا در سیکل پدال زدن (زاویه‌ی پدال) از طریق سری فوریه به صورت روابط (۱) تعریف شده است [24]:

$$\varphi = \sum_{i=1}^3 [A_i \cos(\omega_i t) + B_i \sin(\omega_i t)] \quad (1\text{-الف})$$

$$\omega_i = (i-1)2\pi f \quad (1\text{-ب})$$

$$A = [A_1, A_2, A_3], B = [B_1, B_2, B_3] \quad (1\text{-پ})$$

در رابطه‌ی ۱-الف،  $\varphi$  زاویه‌ی پدال (زاویه‌ی پا روی پدال) است.  $A_i$  و  $\omega_i$  ضرایب فوریه هستند.  $f$  و  $\omega_i$  به ترتیب، فرکانس طبیعی و فرکانس زاویه‌ای هستند (۵٪ سرعت زاویه‌ای شفت میل‌لنگ به عبارت دیگر، نرخ پدال زدن است) (رابطه‌ی ۱-ب). حرکت پا در طول پدال زدن توسط  $A$  و  $B$  (رابطه‌ی ۱-پ)، کنترل می‌شوند.

الگوی گشتاور میل‌لنگ ( $M$ ) به صورت تابع سینوسی (رابطه‌ی ۲) تعریف شده است [24]:

$$M = M_{\text{Offset}} + (M_{\text{Offset}} - M_{\text{TDC}}) \sin(4\pi ft + \alpha_M) \quad (2)$$

گشتاور متوسط ( $M_{\text{Offset}}$ ) به عنوان داده‌ی ورودی است. گشتاور در نقطه‌ی مرگ بالا ( $M_{\text{TDC}}$ ) و زاویه‌ی فاز ( $\alpha_M$ ) به عنوان متغیرهای مستقل در طول بهینه‌سازی تعیین می‌شوند. فرکانس زاویه‌ای تابع گشتاور، ۲ برابر فرکانس دورانی پدال است (به دلیل شامل شدن دو پا).

زنجره‌ی بسته بسیار عملی‌تر و این‌تر از تمرین زنجیره‌ی باز است [7]. بیومکانیک پدال زدن می‌تواند تحت تأثیر عامل‌های زیادی مانند ارتفاع صندلی، طول بازوی میل‌لنگ، وضعیت پا روی پدال، نرخ پدال زدن و توان قرار گیرد. تغییر این عامل‌ها می‌تواند بر نتایج درمانی اثرگذار باشد [8]. ارتفاع صندلی، یکی از ویژگی‌های مهم در تنظیم مناسب ساختار دوچرخه گزارش شده است. که، سینماتیک (از جمله، زوایای مفصلی و طول عضله‌ها) و سینتیک اندام تحتانی (نیروی عضله‌ها و مفصل‌ها) تحت تأثیر قرار می‌گیرد [9].

مطالعات پیشین، تغییر طول عضله‌ها [11,10] و حساسیت مفصل‌های زانو و ران را نسبت به تغییر ارتفاع صندلی [12-14] و فلکشن<sup>۹</sup> بیشتر زانو با کاهش فاصله‌ی افقی صندلی تا پدال [15] (در محدوده‌ی تغییر کم محل صندلی) را گزارش داده‌اند. مطالعه‌ی پرایس و دان (1996) در ۳ ارتفاع صندلی ۱۰۰٪ و ۱۰۴٪ طول تروکانتریک پا) نشان داده است که تغییر ارتفاع صندلی اثر قابل توجهی بر الگوهای سینماتیکی دارد. حداکثر زاویه‌ی مچ پا، حداقل و حداکثر زاویه‌ی زانو و حداقل زاویه‌ی ران تحت تأثیر ارتفاع صندلی قرار می‌گیرند [16]. فرر-کا و همکارانش (2012) [13] برخلاف بررسی‌های نردن-استنایدر [14] و بینی و همکارانش [17]، اظهار داشتند که تغییر ارتفاع صندلی اثری بر سینماتیک مفصل مچ پا ندارد. نردن-استنایدر (1977) با مطالعه بر روی ۱۰ فرد، سازگاری عمدۀ در مفصل زانو و پلاتارتارفلکشن<sup>۱۰</sup> مچ پا با افزایش ارتفاع صندلی گزارش داده است [14]. مطالعه بر روی دوچرخه-سواران و ورزشکاران در ۳ ارتفاع صندلی نشان داده است که تغییر بیشتر از ۵٪ و ۷٪ ارتفاع ترجیحی به ترتیب در دوچرخه-سواران و ورزشکاران سبب تغییر زاویه‌ی مفصل‌های ران و زانو می‌شود؛ که ارتفاع صندلی بیشتر منجر به زاویه‌ی زانو کمتر و محدوده‌ی حرکتی زانو و زاویه‌ی متوسط ران بیشتر می-شود [9].

به منظور افزایش محدوده‌ی حرکتی و اکستنشن<sup>۱۱</sup> بیشتر مفصل‌های اندام تحتانی، می‌توان ارتفاع صندلی را تغییر داد [18]. پژوهش‌های انجام یافته، اثر تغییر محل صندلی تا پدال را در محدوده‌ی کوچک بر مفصل‌های اندام تحتانی بررسی نموده‌اند. آگاهی از روند تغییر محدوده‌ی حرکتی مفصل‌های پا و الگوی سینماتیکی آن‌ها نسبت به تغییر محل صندلی تا پدال در محدوده‌ی بزرگ می‌تواند در تنظیم مناسب فاصله‌ی صندلی تا پدال کمک کننده باشد. بدین‌منظور، می‌توان از روش شبیه‌سازی بهره گرفت؛ چراکه روش شبیه‌سازی امکان انجام آزمایشات تکراری با تغییر هر یک از عامل‌های اثرگذار در پدال زدن با ثابت نگه داشتن سایر شرایط و هزینه‌ی کمتر فراهم می‌کند [19]. به علاوه، مدل‌سازی دینامیکی می‌تواند در جهت ساخت و کنترل دستگاه‌های توانبخشی اندام‌های حرکتی بدن (از جمله پا برای بهبود توانایی راه رفتن بیماران) و بررسی کیفیت ساختارهای پیشنهاد شده به منظور کنترل دستگاه‌های توانبخشی در فضای شبیه‌سازی شده کمک کند [20].

از این‌رو، در این مطالعه از مدل سه بعدی پدال زدن استفاده می‌شود. سپس، مطالعه‌ی پارامتریک با تغییر دادن فاصله‌ی افقی و عمودی صندلی تا پدال در محدوده‌ی محل‌های ممکن‌های پدال زدن [21] انجام می‌شود. اثر آن‌ها بر محدوده‌ی حرکت و الگوی سینماتیکی مفصل‌های مچ پا، زانو و ران و سرعت انقباض عضله‌ها مورد ارزیابی قرار می‌گیرد.

<sup>4</sup> Anybody technology A/S, Aalborg, Denmark, version 5.3.1.3556

<sup>5</sup> Gluteus Minimus

<sup>6</sup> Gluteus Medius

<sup>7</sup> Gluteus Maximus

<sup>8</sup> Adductor Magnus

<sup>1</sup> Flexion

<sup>2</sup> Plantarflexion

<sup>3</sup> Extension

## 2- مرحله‌ی تحلیل

به منظور تحلیل سینماتیک معکوس، کدی در نرم‌افزار متلب<sup>۱</sup> با قابلیت تغییر و مدیریت هم‌زمان متغیرها (ارتفاع صندلی و موقعیت صندلی) نوشته شد. با اجرای این برنامه در این بادی کنسول آر، خروجی‌های حاصل از تحلیل شامل زاویه‌ی خم/باز شدن (شکل ۱) مفصل‌های ران، زانو و مچ پا و طول ۴۲ عضله‌ی پا راست در ۵۱ گام زمانی یک سیکل پدال زدن (۰.۷۵ s) به صورت جداگانه در فایل مربوطه ذخیره شدند.

## 2-3- مرحله‌ی پس-تحلیل

جهت بررسی داده‌های حاصل از تحلیل، کدی در نرم‌افزار متلب نوشته شد. با استفاده از این برنامه، حداقل و حداکثر زاویه‌ی مفصل‌ها (در طول یک سیکل پدال زدن) در هر محل پدال زدن استخراج شد. میانگین و انحراف معیار حداقل و حداکثر زاویه‌ی مفصل‌ها در محل‌های پدال زدن مربوط به هر گروه (جدول ۱) محاسبه شد. بدین‌ترتیب، نمودارهای آن‌ها در کل محدوده‌ی محل‌های ممکن‌های پدال زدن (۱۶ گروه) رسم شد. در محدوده‌ی محل‌های ممکن‌های پدال زدن، ۳ مسیر بهینه از نظر حداقل نیروهای عکس‌العملی مفصل‌های زانو، ران و مچ پا وجود دارد [۲۵, ۲۱]. ۳ محل پدال زدن به طور تقریب از ابتدا، میانه و انتهای هر مسیر به صورت تصادفی انتخاب شد و الگوی سینماتیکی مفصل‌های مچ پا، زانو و ران در آن محل‌ها رسم شد. به منظور بررسی همبستگی بین زاویه‌ی مفصل‌های مچ پا، زانو و ران در طول یک سیکل پدال زدن، ضرب همبستگی پیرسون مچ پا-زانو، مچ پا-ران و زانو-ران در ۹ محل انتخاب شده از مسیرهای بهینه محاسبه شد. از میان ۴۲ عضله، ۱۲ عضله انتخاب شدند. این عضله‌ها در ۴ گروه عضله‌ی مچ پا (نعلی<sup>۲</sup> و درشت‌نشی قدامی<sup>۳</sup>، زانو (پهن خارجی<sup>۴</sup>، پهن داخلی<sup>۵</sup>، پهن میانی<sup>۶</sup> و دوسرانی<sup>۷</sup> سر کوتاه)، ران (سرینی بزرگ (متوسط ۳ تار مدل شده)) و دومفصلی (دوقوله<sup>۸</sup>، راست رانی<sup>۹</sup>، نیم‌وتری<sup>۱۰</sup>، نیم‌غشایی<sup>۱۱</sup> و دوسرانی سر بلند) دسته‌بندی شدند [۲۶]. داده‌های ۴۸ گام زمانی برای عضله‌ها در نظر گرفته شد. سپس ۴۸ داده‌ی حاصل از یک سیکل پدال زدن به ۸ قسمت (فاز) تقسیم شدند (به منظور تقسیم‌بندی راحت‌تر داده‌های یک سیکل پدال زدن به ۸ قسمت، داده‌های ۴۸ گام زمانی یک سیکل پدال زدن در نظر گرفته شد). از رابطه‌ی (۳)، برای محاسبه‌ی سرعت انقباض عضله‌ها در ۸ فاز از سیکل پدال زدن ( $V_{Ph}$ ) در محل‌های پدال زدن استفاده شد  $\Delta L$  و  $Ph$  بدترتب تغییر طول عضله در هر فاز، تغییر زمانی در هر فاز (s) ( $\Delta t = 0.075$  s) و شماره فاز هستند. سپس، حداکثر مقدار سرعت انقباض (حداکثر کشش انقباضی) عضله‌ها در هر یک استخراج شدند.

$$V_{Ph} = \frac{\Delta L_{Ph}}{\Delta t}, Ph = 1, 2, \dots, 8 \quad (3)$$

رونده تغییر حداکثر سرعت انقباض عضله‌ها در محدوده‌ی محل‌های پدال زدن و در ۹ محل از مسیرهای بهینه مورد مطالعه قرار گرفت.

## 2- مرحله‌ی پیش-تحلیل

به منظور فراهم نمودن حرکت پدال زدن، مدل از ناحیه‌ی لگن ثابت شد (به طوریکه، کمر در وضعیت قائم است). باها بر روی پدال‌ها متصل شدند، که امكان جابه‌جایی پاها بر روی پدال‌ها در ۳ راستا وجود ندارد. طول بازوی پدال و نرخ پدال زدن بهترتب، cm ۱۷.۵ و ۸۰ در نظر گرفته شدند. از محدوده‌ی محل‌های ممکن‌های پدال زدن، ۱۸۲ محل پدال زدن [۲۱] برای مطالعه لحاظ شد. ارتفاع (فاصله‌ی عمودی صندلی تا پدال) و موقعیت (فاصله‌ی افقی صندلی تا پدال) صندلی مربوط به هر محل پدال زدن به صورت جدول ۱ است؛ که شماتیک محل‌های ممکن‌های پدال زدن در شکل ۱ نشان داده شده است.

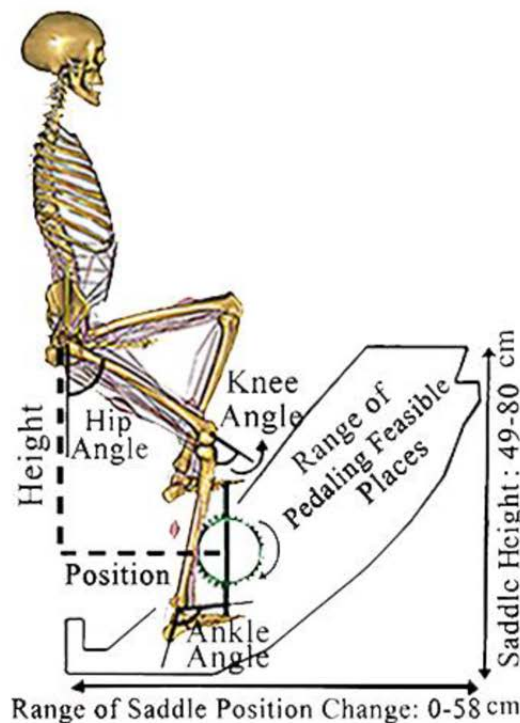


Fig. 1 Schematic of the pedaling feasible places range

شکل ۱ محدوده‌ی محل‌های ممکن‌های پدال زدن به صورت شماتیک [۲۱]

جدول ۱ مشخصات محل‌های پدال زدن مورد مطالعه از محدوده‌ی محل‌های ممکن‌های پدال زدن [۲۱]

Table 1 The characteristics of the studied pedaling places from the pedaling feasible places range [21]

| میزان تغییر موقعیت صندلی (cm) | محدوده‌ی تغییر موقعیت صندلی (cm) | ارتفاع صندلی (cm) | گروه |
|-------------------------------|----------------------------------|-------------------|------|
| 13                            | 43-56                            | 49                | 1    |
| 15                            | 40-55                            | 51                | 2    |
| 20                            | 38-58                            | 53                | 3    |
| 21                            | 35-56                            | 55                | 4    |
| 23                            | 33-56                            | 57                | 5    |
| 24                            | 30-54                            | 59                | 6    |
| 24                            | 28-52                            | 61                | 7    |
| 24                            | 26-50                            | 63                | 8    |
| 24                            | 24-48                            | 65                | 9    |
| 23                            | 22-45                            | 67                | 10   |
| 22                            | 20-42                            | 69                | 11   |
| 21                            | 18-39                            | 71                | 12   |
| 21                            | 15-36                            | 73                | 13   |
| 20                            | 0, 11-31                         | 75                | 14   |
| 20                            | 0, 7-27                          | 77                | 15   |
| 19                            | 0, 2-21                          | 79                | 16   |

<sup>1</sup> Matlab

<sup>2</sup> AnyBody console

<sup>3</sup> Soleus

<sup>4</sup> Tibialis Anterior

<sup>5</sup> Vastus Lateralis

<sup>6</sup> Vastus Medialis

<sup>7</sup> Vastus Intermedius

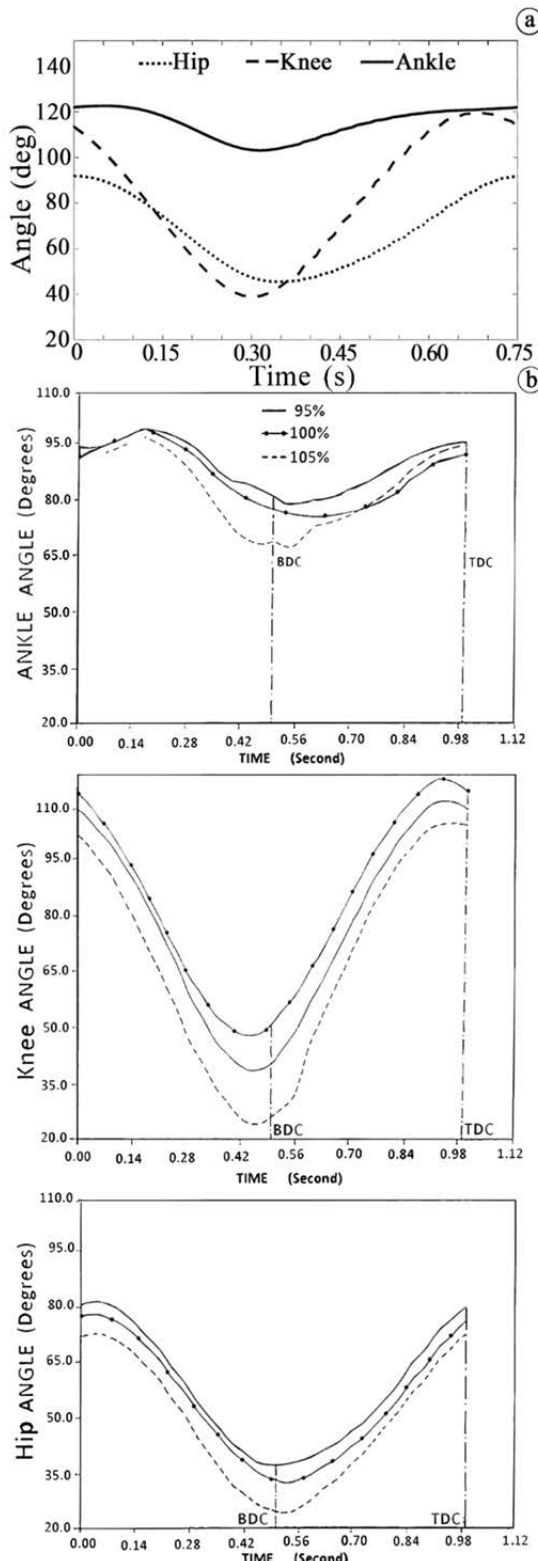
<sup>8</sup> Biceps Femoris

<sup>9</sup> Gastrocnemius

<sup>10</sup> Rectus Femoris

<sup>11</sup> Semitendinosus

<sup>12</sup> Semimembranosus



**Fig. 2** Variation trend of ankle, knee and hip joints angle during a pedaling cycle: (a) by simulation in current study, for example in a pedaling place and (b) by experimental method of Nordeen-Snyder study in 3 pedaling places [14]

شکل ۲ روند تغییر زاویه‌ی مفصل‌های مج پا، زانو و ران در طول یک سیکل پدال زدن: (الف) به عنوان نمونه در یک محل پدال زدن مطالعه‌ی حاضر به روش شیوه‌سازی و (ب) مطالعه‌ی نردن-اسنایدر در سه محل پدال زدن به روش تجربی [14]

### 3- نتایج و بحث

#### 3-1- دامنه‌ی حرکتی مفصل‌ها

روند تغییر زاویه‌ی (deg) مفصل‌های مج پا، زانو و ران در طول یک سیکل پدال زدن (0.75 s) برای نمونه در یک محل پدال زدن (ارتفاع و موقعیت صندلی به ترتیب 65 cm و 42 cm، در شکل-a نشان داده شده است) (روند تغییر زاویه‌ی مفصل‌ها در همه‌ی محل‌های پدال زدن مشابه است و تفاوت آن‌ها در مقدار حداکثر و حداقل زاویه است. به این دلیل نمودار تغییر زاویه‌ی مفصل‌ها در یک محل نشان داده شده است؛ که مشابه با روند تغییر زاویه‌ی مفصل‌ها در مطالعه‌ی تجربی نردن-اسنایدر (1977) نشان داده شده در شکل 2-b (در سه محل پدال زدن با ارتفاع صندلی 95%, 100% و 105% طول تروکاتریک پا) است. با توجه به نمودارهای شکل-a می‌توان گفت، روند تغییر زاویه‌ی مفصل‌ها مشابه هستند).

محدوده‌ی تغییر زاویه‌ی مفصل‌های مج پا، زانو و ران (قرارداد زاویه‌ها در شکل 1 مشخص شده است) در محدوده‌ی محل‌های ممکن‌های پدال زدن به صورت شکل 3 است. در هر یک از مفصل‌ها، میانگین و انحراف معیار حداکثر و حداقل زاویه‌ی مفصلی در 16 گروه از محدوده‌ی محل‌های ممکن مشخص شده است. هر گروه مربوط به یک ارتفاع است (جدول 1) که میانگین حداکثر و حداقل زاویه‌ی مفصلی در موقعیت‌های صندلی مربوط به هر ارتفاع در آن گروه را نشان می‌دهد. انحراف معیار در هر یک نشان دهنده‌ی اثر تغییر موقعیت صندلی در هر ارتفاع صندلی است.

در محدوده‌ی محل‌های ممکن، حداکثر و حداقل زاویه‌ی مفصل‌های مج پا، زانو و ران به ترتیب، 125.31-130.14 (انحراف معیار: 2.26-5.14) و 92.60-118.00 (انحراف معیار: 1.83-6.75)، 113.75-131.43 (انحراف معیار: 0.99-6.06) و 33.18-61.63 (انحراف معیار: 6.36-15.32) (انحراف معیار: 0.44-5.26) و 18.27-65.79 (انحراف معیار: 0.59-2.42) هستند. می‌توان گفت، اثر تغییر ارتفاع و موقعیت صندلی بر حداقل زاویه‌ی مفصل‌های مج پا و زانو بیشتر از حداکثر زاویه‌ی آن‌ها است. برخلاف تغییر موقعیت صندلی، تغییر ارتفاع صندلی بر حداکثر و حداقل زاویه‌ی مفصل ران اثرگذار است.

محدوده‌ی حرکتی (اختلاف زاویه‌ی حداکثر و حداقل) مفصل‌های مج پا، زانو و ران در محدوده‌ی محل‌های ممکن به ترتیب، 11.08-37.54 (انحراف معیار: 4.02-9.76)، 42.89-46.13 (انحراف معیار: 0.03-1.86)، 69.61-80.58 (انحراف معیار: 0.07-2.89) هستند. با افزایش ارتفاع صندلی، محدوده‌ی حرکتی مفصل‌های مج پا و زانو افزایش می‌یابد؛ که، موافق با پژوهش‌های بینی و همکارانش (2014) [9]، اریکسون و همکارانش (1988) [18] و نردن-اسنایدر (1977) [14] است. به علاوه، نردن-اسنایدر (1977) [14] عدم تغییر محدوده‌ی حرکتی ران علی‌رغم تغییر زاویه‌ی ران در نقطه‌ی مرگ با تغییر ارتفاع صندلی (95%, 100% و 105% طول تروکاتریک پا) را گزارش داده است. مطالعه‌ی پراس و دان (1997) [16] نیز کاهش حداکثر و حداقل زاویه‌ی زانو و حداقل زاویه‌ی ران با افزایش ارتفاع صندلی را نشان داده است. به طور موفق، در مطالعه‌ی حاضر نیز به دلیل تأثیر تغییر ارتفاع صندلی بر هر دو زاویه‌ی حداکثر و حداقل به بیان دیگر خم و باز شدن مفصل ران، محدوده‌ی حرکتی آن با تغییر ارتفاع صندلی تغییر قابل توجهی نمی‌کند. کاهش حداکثر و حداقل زاویه‌ی مفصل ران با افزایش ارتفاع، نشان دهنده‌ی افزایش میزان باز شدن مفصل ران با افزایش ارتفاع صندلی است.

می‌توان گفت، با تغییر ارتفاع صندلی به منظور سازگاری با شرایط محل پدال، میزان باز شدن مفصل‌های ران و زانو افزایش می‌یابد. در طول پدال

با توجه به نمودارهای قطبی زوایای مفصلی، می‌توان گفت در مسیرهای زانو، ران و مج پا، متوسط محدوده‌ی حرکتی مفصل مج پا به ترتیب  $21.08 \pm 9.16$ ,  $21.60 \pm 14.13$ ,  $21.54 \pm 9.64$  درجه، مفصل زانو به ترتیب  $84.03 \pm 13.09$ ,  $81.57 \pm 5.64$ ,  $69.80 \pm 7.36$  درجه و مفصل ران به ترتیب  $46.62 \pm 7.23$ ,  $46.85 \pm 0.42$ ,  $42.66 \pm 1.75$  درجه هستند. به علاوه، حداکثر زاویه‌ی مج پا و زانو در مسیر زانو و زاویه‌ی ران در مسیر ران بیشترین مقدار هستند؛ ولی، حداقل زاویه‌ی مج پا، زانو و ران در مسیر مج پا کمترین مقدار هستند. به این دلیل بیشترین محدوده‌ی حرکتی هر 3 مفصل در مسیر مج پا حاصل شده‌است.

نمودارهای قطبی زوایای مفصلی مج پا، زانو و ران در طول یک سیکل پدال زدن در هر یک از 9 محل پدال زدن نشان می‌دهند که تغییر زاویه‌ی مفصل‌ها در ارتباط با هم‌دیگر هستند. قابل ذکر است که با انجام تمرین‌های زنجیره‌ی سینتیک بسته، مفصل‌های ران، زانو و مج پا به طور همزمان به کار گرفته می‌شوند؛ که تمرین‌های زنجیره‌ی بسته با بهبود هماهنگی عضله‌ها و عملکرد فیزیکی، عملکرد کلی را بهبود می‌بخشند [27-29]. می‌توان گفت ایجاد هماهنگی بین عضله‌ها ناشی از وجود هماهنگی بین مفصل‌ها است. به منظور بررسی هماهنگی بین مفصل‌ها، ضربی پیرسون تغییر زاویه‌ی مج پا-زانو، مج پا-ران، و زانو-ران در 9 محل پدال زدن از مسیرهای بهینه (مسیر زانو، مسیر ران و مسیر مج پا) در شکل 5 جمع آوری شده‌اند. نمودارهای میله‌ای نشان دهنده همبستگی، حاکی از آن است که در هر محل پدال زدن تغییر زاویه‌ی مج پا-زانو، مج پا-ران و زانو-ران همبستگی مشبّت دارند. این همبستگی مشبّت بین زاویه‌ی مفصل‌ها در طول سیکل پدال زدن نشان می‌دهد که زاویه‌ی مفصل‌ها هماهنگ با هم تغییر می‌کنند؛ به بیان دیگر، همکاری مفصل‌ها را نشان می‌دهد.

بزرگی محدوده‌ی حرکتی استفاده شده در مفصل‌های ران، زانو و مج پا در طول تمرین با دوچرخه ثابت به طور تقریب برابر با میزان فلکشن در راه رفتن نرمال و بالا رفتن از پله است. با تنظیم مناسب محل صندلی می‌توان محدوده‌ی حرکتی کنترل شده را فراهم نمود [18]. روند تغییر محدوده‌ی حرکتی مفصل‌های اندام تحتانی با تغییر محل صندلی در محدوده‌ی بزرگی از محل‌های پدال زدن و در مسیرهای بهینه از این محدوده، می‌تواند در فراهم نمودن شرایط پدال زدن در بیماران با نیازهای مختلف کمک کننده باشد؛ که در پژوهش‌های پیشین نیز تمرین‌های زنجیره‌ی بسته برای بازتوانی و انجام تمرین‌های ورزشی مناسب گزارش شده‌است [29,28].

### 3-3- سرعت انقباض عضله‌ها

تغییرات سرعت انقباض عضله‌های 4 گروه مفصلی مج پا، زانو، ران و دومفصلي پای راست در محدوده‌ی محل‌های ممکنه پدال زدن در شکل 6 نشان داده شده‌است. مطابق با گروه‌ها در جدول 1، برای هر عضله 16 نمودار قابل مشاهده است که، تغییرات سرعت انقباض عضله‌ها در یک ارتفاع صندلی با افزایش موقعیت صندلی مربوط به آن ارتفاع را نشان می‌دهد. در محدوده‌ی محل‌های ممکنه، بازه تغییرات سرعت انقباض عضله‌های 4 گروه مفصلی مج پا، زانو، ران و دومفصلي به ترتیب  $4-16 \text{ cms}^{-1}$ ,  $9-15 \text{ cms}^{-1}$ ,  $13-30 \text{ cms}^{-1}$  و  $3-25 \text{ cms}^{-1}$  است (شکل 6).

روند تغییرات نمودارهای سرعت انقباض عضله‌های 4 گروه مفصلی (مج پا (علی و درشت‌نئی قدمایی)، زانو (پهن خارجی، پهن داخلی، پهن میانی و دوسرانی سر کوتاه)، ران (سرینی بزرگ (متوسط 3 تار مدل شده)) و دومفصلي (دوقوله، راست رانی، نیم‌وتیری، نیم‌غشایی و دوسرانی سر بلند)) در

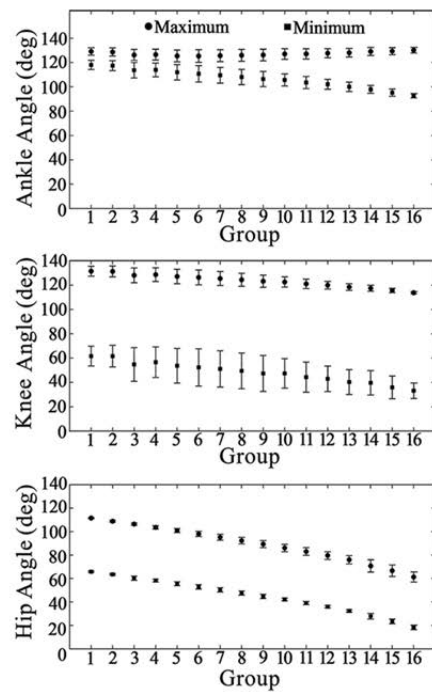


Fig. 3 The range of ankle, knee and hip joints angle in the pedaling feasible places range (the groups are in accordance with Table 1)

شکل 3 محدوده‌ی زاویه‌ی مفصل‌های مج پا، زانو و ران در محدوده‌ی محل‌های

ممکنه پدال زدن (گروه‌ها مطابق با جدول 1 است)

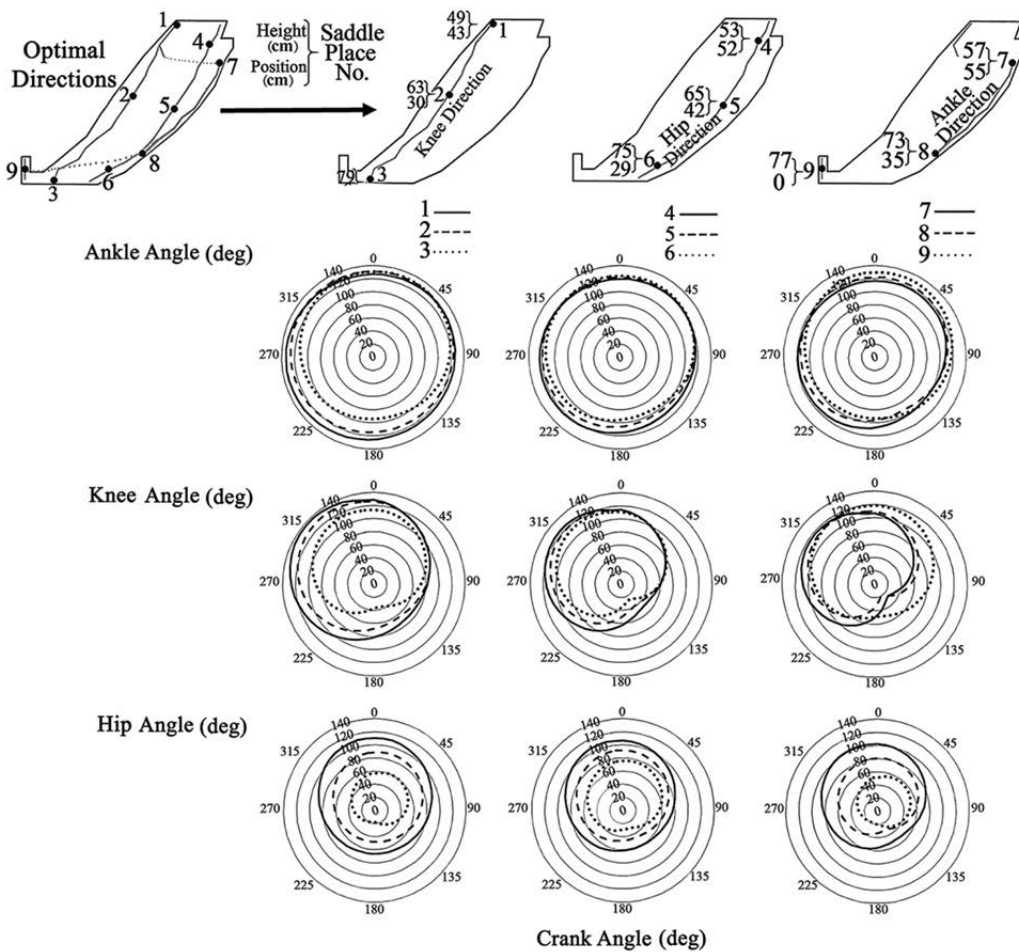
زدن جهت رسیدن پا به پایین ترین وضعیت پدال باستی پا کشیده شود که، منجر به افزایش پلاتارتارفلکشن مج پا می‌شود (یعنی کاهش حداقل زاویه‌ی مج پا). در حالیکه با تغییر فاصله‌ی افقی صندلی نسبت به پدال، سازگاری عده در مفصل زانو صورت می‌گیرد؛ به عنوان مثال با افزایش فاصله‌ی افقی صندلی تا پدال، میزان باز شدن زانو افزایش می‌یابد (یعنی کاهش حداقل و حداکثر زاویه‌ی زانو) ولی زاویه‌ی مفصل ران تغییر قابل توجهی نخواهد داشت. در طول پدال زدن نیز به منظور رسیدن پا به دورترین وضعیت پدال، کشیدگی پا (پلاتارتارفلکشن مج پا) افزایش می‌یابد.

با توجه به بازه‌ی تغییر محدوده‌ی حرکتی و انحراف معیار مفصل‌ها در محل‌های ممکنه می‌توان گفت، اثر تغییر ارتفاع صندلی بر محدوده‌ی حرکتی مفصل مج پا  $>$  زانو  $<$  ران است و اثر تغییر موقعیت صندلی بر محدوده‌ی حرکتی مفصل زانو  $<$  ران  $<$  مج پا است. بینی و همکارانش [15] با مطالعه‌ی نیروی زانو در دو حالت از فاصله‌ی افقی صندلی تا پدال نسبت به فاصله‌ی افقی ترجیحی، اثر تغییر فاصله‌ی افقی بر زاویه‌ی فلکشن زانو را گزارش داده‌اند. به طور موافق، اثر تغییر فاصله‌ی افقی بر زاویه‌ی زانو در مطالعه‌ی حاضر دیده شد.

متوسط محدوده‌ی حرکتی مفصل‌های مج پا، زانو و ران در محدوده‌ی محل‌های ممکنه به ترتیب،  $20.65 \pm 8.54$ ,  $75.12 \pm 3.16$  و  $44.45 \pm 1.03$  درجه است؛ یعنی در حرکت پدال زدن محدوده‌ی حرکتی مفصل زانو  $<$  ران  $<$  مج پا است.

### 3-2- الگوی سینماتیکی مفصل‌ها

در شکل 4، الگوی سینماتیکی مفصل‌های مج پا، زانو و ران (در طول یک سیکل پدال زدن) در مسیرهای بهینه یعنی مسیر زانو (محل‌های 1, 2 و 3)، مسیر ران (محل‌های 4, 5 و 6) و مسیر مج پا (محل‌های 7, 8 و 9) نشان داده شده‌است.



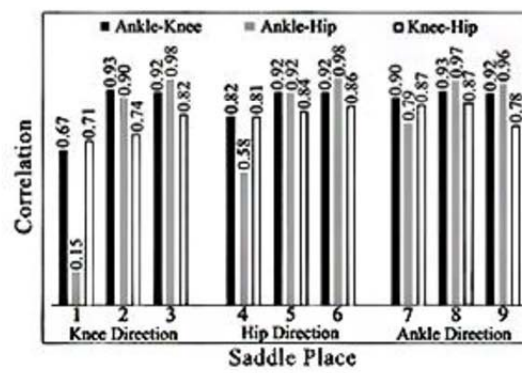
**Fig. 4** نمودارهای قطبی الگوی سینماتیکی مفصل‌های مج پا، زانو و ران در طول یک سیکل پدال زدن (زاویه‌ی میل لنگ: 0-360 deg) در مسیرهای بهینه: مسیرهای زانو (1، 2 و 3)، ران (4، 5 و 6) و مج پا (7، 8 و 9)

شکل 4 نمودارهای قطبی الگوی سینماتیکی مفصل‌های مج پا، زانو و ران در طول یک سیکل پدال زدن (زاویه‌ی میل لنگ: 0-360 deg) در مسیرهای بهینه: مسیرهای زانو (1، 2 و 3)، ران (4، 5 و 6) و مج پا (7، 8 و 9)

تدابیری تغییر موقعیت در آن ارتفاع باشد.

عضله‌ی درشتنتی قدامی با افزایش موقعیت صندلی در هر ارتفاع روند افزایشی دارد و مقادیر آن در ارتفاع بیشتر، افزایش می‌یابد. می‌توان گفت با افزایش ارتفاع و یا موقعیت صندلی، میزان پلاتارفالکشن مج پا جهت رسیدن پا به پایین ترین وضعیت پدال، افزایش می‌یابد. افزایش پلاتارفالکشن مج پا منجر به افزایش کشش عضله‌ی درشتنتی قدامی می‌شود. سرعت انقباض عضله‌های گروه زانو روند افزایشی با افزایش موقعیت در هر ارتفاع و در ارتفاع‌های بیشتر، دارند؛ که روند تغییر سرعت انقباض 3 عضله‌ی پهن (جزء گروه عضله‌ی چهارسرانی) مشابه است. درواقع، با افزایش ارتفاع و موقعیت صندلی، باز شدن بیشتر زانو سبب افزایش طول عضله‌های گروه زانو شده است. به طور تقریب می‌توان گفت در ارتفاع بیشتر صندلی به دلیل افزایش میزان باز شدن مفصل ران، کشش عضله‌ی سرینی بزرگ (متوسط) افزایش می‌یابد. ولی به دلیل تأثیر کم افزایش موقعیت صندلی بر باز شدن مفصل ران، طول این عضله کاهش می‌یابد.

سرعت انقباض عضله‌ی دومفصلي زانو-ران راست رانی (جزء گروه عضله‌ی چهارسرانی) روند افزایشی با افزایش موقعیت در هر ارتفاع دارد. با افزایش موقعیت صندلی ابتدا جهت سازگاری با شرایط پدال، میزان باز شدن زانو

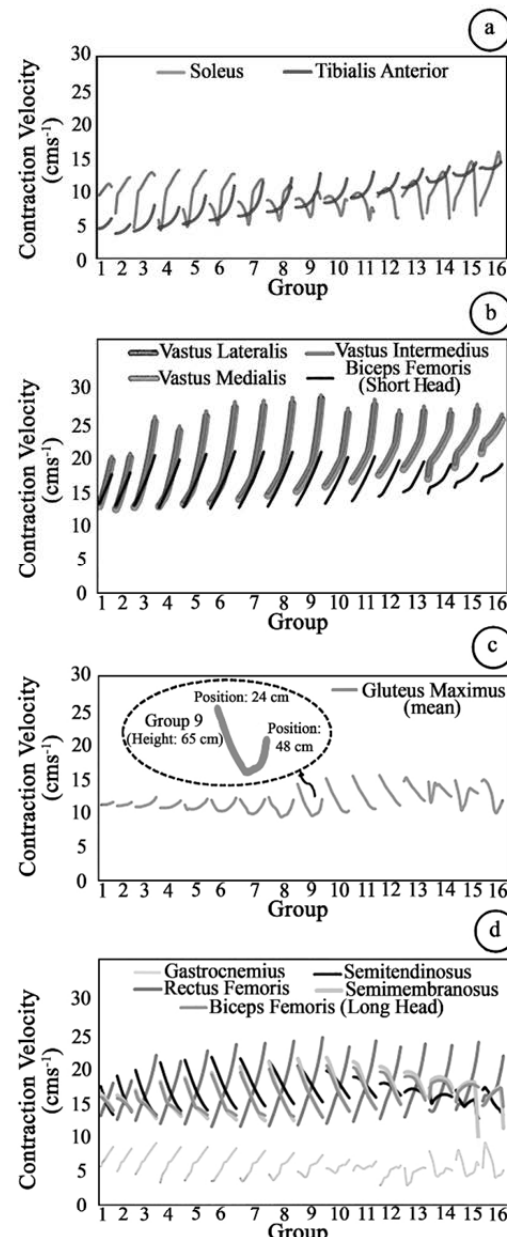


**Fig. 5** همبستگی زوایای مفصلی مج پا-زانو، مج پا-ران و زانو-ران در 9 محل پدال زدن از مسیرهای بهینه (مسیر زانو، مسیر ران و مسیر مج پا)

شکل 6 نشان می‌دهد که، سرعت انقباض عضله‌ی نعلی از گروه عضله‌ی مج پا و عضله‌ی سرینی بزرگ از گروه عضله‌ی ران رفتار متفاوت (درهم) را در محدوده‌ی محل ممکن است. وجود چنین رفتار متفاوت شاید به دلیل اثر

می‌توان گفت اثر افزایش ارتفاع صندلی بر افزایش میزان باز شدن مفصل‌های ران و زانو و طبیعت دومفصلي بودن عضله‌ی راست رانی، منجر به عدم تأثیر افزایش ارتفاع بر میزان کشش این عضله می‌شود؛ به بیان دیگر، افزایش باز شدن مفصل‌های ران و زانو به ترتیب سبب افزایش و کاهش کشش این عضله می‌شوند. بدین ترتیب افزایش ارتفاع صندلی بر کشش این عضله بی‌تأثیر است. به طور تقریب، سرعت انقباض عضله‌های همیسترنگ<sup>۱</sup> (دوسرانی سر بلند، نیم‌وتری و نیم‌غشایی) با افزایش موقعیت در هر ارتفاع کاهش می‌یابد. برخلاف عضله‌ی راست رانی، عضله‌های همیسترنگ به عنوان بازکننده‌ی ران و خم کننده‌ی زانو هستند؛ ازین‌رو با افزایش موقعیت صندلی و افزایش میزان خم شدن مفصل‌های زانو و ران در طول فاز بالا رفتن پدال، می‌توان کاهش کشش این عضله‌ها را با افزایش موقعیت صندلی انتظار داشت. به علاوه، با افزایش میزان باز شدن ران و زانو هنگام افزایش ارتفاع صندلی به ترتیب کاهش و افزایش طول عضله‌های همیسترنگ صورت می‌گیرد. بدین ترتیب در مورد این عضله‌ها نیز همانند عضله‌ی راست رانی، تغییر ارتفاع صندلی اثری بر کشش عضله‌ها ندارد.

روند تغییر سرعت انقباض عضله‌ی دوقلو (دومفصلي مج پا-زانو) در محدوده‌ی محل‌های ممکنه کمی متفاوت است؛ با این حال به طور تقریب با افزایش موقعیت صندلی، می‌توان گفت کشیدگی این عضله بیشتر می‌شود. در فاز پایین رفتن پدال، مج پا در وضعیت دورسی فلکشن<sup>۲</sup> قرار دارد که همراه شدن آن با کشیدگی بیشتر زانو می‌تواند منجر به کشیدگی بیشتر این عضله هنگام پایین رفتن پدال شود. به طور کلی موفق با مطالعه‌ی سندرسون و آموروسو (2009) [30]، می‌توان گفت شاید به دلیل طبیعت دومفصلي عضله‌ی دوقلو، اثر تغییر محل صندلی بر سرعت انقباض این عضله کمتر است (زیرا تغییر زاویه‌ی دو مفصل مج پا و زانو بر آن اثر می‌گذارد)؛ به عنوان مثال، کاهش ارتفاع صندلی سبب دورسی فلکشن بیشتر مج پا و در نتیجه افزایش طول عضله‌ی دوقلو می‌شود اما همزمان میزان خم شدن زانو افزایش یافته که همین امر منجر به کاهش طول عضله‌ی دوقلو می‌شود. بدین ترتیب، تغییر محل صندلی (موقعیت و ارتفاع) تأثیر کمتری بر تغییر طول این عضله دارد. برخلاف مطالعات پیشین [30,10]، در مطالعه‌ی حاضر اثر تغییر فاصله‌ی افقی و عمودی صندلی تا پدال (موقعیت و ارتفاع) در محدوده‌ی وسیعی از موقعیت و ارتفاع صندلی (182 محل پدال زدن) به صورت جداگانه بر روی حداکثر کشش عضله‌ها بررسی شدند. مشابه با مطالعات پیشین در شکل ۷، بدون تفکیک اثر جداگانه‌ی ارتفاع و موقعیت صندلی بر سرعت انقباض عضله‌ها، روند تغییر حداکثر کشیدگی عضله‌ها شان داده شده است. سندرسون و آموروسو (2009) با ثبت سیگنال الکتروموگرافی از عضله‌های دوقلو و نعلی هنگام پدال زدن در 3 ارتفاع صندلی ۹۰٪ و ۱۰۲٪ طول تروکاتریک پا، افزایش سرعت کشیدگی عضله‌ی نعلی با افزایش ارتفاع را گزارش دادند [30]. مطالعه‌ی آن‌ها افزایش طول عضله‌ی دوقلو در ارتفاع کم را نشان داده بود اما اظهار داشتند که اثر قابل توجهی ندارد. به طور تقریب نمودارهای میله‌ای عضله‌های نعلی و دوقلو در شکل 7 نیز نتیجه‌ی موفق با مطالعه‌ی سندرسون و آموروسو (2009) را نشان می‌دهند. راگ و گریگور (1978) با بررسی طول عضله‌های پهن، نعلی، همیسترنگ و دوقلو در 4 ارتفاع صندلی ۱۰۵٪، ۱۱۰٪ و ۱۱۵٪ طول از محل انشعاب دو پا، کاهش طول مطلق عضله‌های پهن و نعلی و افزایش طول مطلق عضله‌های همیسترنگ و دوقلو را با افزایش ارتفاع صندلی به روش تجربی گزارش داده‌اند [10]. اختلاف

<sup>1</sup> Hamstring<sup>2</sup> Dorsiflexion

**Fig. 6** سرعت انقباض گروههای عضله‌ی مج پا (الف)، زانو (ب)، ران (ج) و دومفصلي (د) در محدوده‌ی محل‌های ممکنه پدال زدن. ۱۶ نمودار برای هر عضله قابل مشاهده است که، هر نمودار تغییرات سرعت انقباض عضله با افزایش موقعیت صندلی مربوط به هر ارتفاع را نشان می‌دهد (مطابق با گروه‌ها در جدول ۱)

شکل ۶ سرعت انقباض گروههای عضله‌ی مج پا (الف)، زانو (ب)، ران (ج) و دومفصلي (د) در محدوده‌ی محل‌های ممکنه پدال زدن. ۱۶ نمودار برای هر عضله قابل مشاهده است که، هر نمودار تغییرات سرعت انقباض عضله با افزایش موقعیت صندلی مربوط به هر ارتفاع را نشان می‌دهد (مطابق با گروه‌ها در جدول ۱)

افزایش می‌یابد. در حالیکه در زاویه‌ی مفصل ران تغییر قابل توجهی حاصل نمی‌شود. در طول پدال زدن، رفته رفته از میزان باز شدن زانو کاسته می‌شود. طوریکه در فار بالا رفتن پدال، کاهش بیشتری در میزان باز شدن زانو صورت می‌گیرد و همزمان میزان خم شدن زانو افزایش می‌یابد. همین امر سبب افزایش طول عضله‌ی راست رانی با افزایش موقعیت صندلی می‌شود.

دیده باشد، نباید پدال زدن در محل‌های صندلی که منجر به کشش بیشتر عضله می‌شود، صورت گیرد؛ به عنوان مثال اگر عضله‌ی درشت نئی قدامی آسیب دیده باشد، پدال زدن در ارتفاع بیشتر منجر به آسیب بیشتر این عضله می‌شود؛ که تنظیم محل صندلی در ارتفاع کمتر برای این عضله مناسب است. نمودارهای میله‌ای نشان داده شده در ۹ محل از مسیرهای بهینه (از نظر حداقل نیروهای مفصلی) در شکل ۷ می‌تواند در تنظیم محل صندلی با در نظر گرفتن عضله مورد نظر کمک کننده باشد. به طور تقریبی، متوسط سرعت انقباض عضله نعلی در مسیر مچ پا، عضله‌های درشت‌نئی قدامی، گروه زانو و دومفصلي دوقلو و راست رانی در مسیر زانو، عضله‌ی سرپی بزرگ (متوسط) در مسیر ران، و عضله‌ی همیسترنگ در مسیرهای ران و مچ پا کمترین مقدار است. قابل ذکر است که، سرعت انقباض عضله دوقلو در ۳ مسیر بهینه تفاوت چندانی ندارد (شکل ۷).

#### 4- نتیجه‌گیری

تغییر ارتفاع صندلی در محدوده‌ی محل‌های ممکن‌هی پدال زدن می‌تواند سبب تغییر سینماتیک اندام تحتانی شود. تنظیم مناسب ساختار دوچرخه می‌تواند در بهبود محدوده‌ی حرکتی مفصل‌ها کمک کننده باشد. محدوده‌ی حرکتی مفصل‌های مچ پا و زانو بیشتر از مفصل ران تحت تأثیر محل صندلی قرار می‌گیرد. محدوده‌ی حرکتی مچ پا و زانو، افزایش قابل توجهی نسبت به افزایش ارتفاع صندلی نشان می‌دهد، که بیشترین محدوده‌ی حرکتی مچ پا، زانو و ران در محل‌های بهینه با حداقل نیروی مفصل مچ پا از محدوده‌ی محل‌های ممکن‌هی حاصل می‌شود. در هر محل پدال زدن، تغییر زاویه‌ی مفصل‌ها در طول سیکل پدال زدن همانگاه با هم صورت می‌گیرد. به علاوه، تغییر زاویه‌ی مفصل‌ها منجر به تغییر سینماتیک عضله‌ها می‌شود. بازه‌ی تغییر سرعت انقباض عضله‌های گروه مچ پا، زانو و دومفصلي بزرگتر از گروه عضله‌ی ران است؛ از این‌رو، استفاده از دوچرخه‌ی ثابت با قابلیت تنظیم محل صندلی و فراهم نمودن شرایط مناسب برای هر فرد می‌تواند در بازنویی سریع‌تر بیماران مفید باشد.

#### 5- فهرست علامی

|                      |                        |                     |
|----------------------|------------------------|---------------------|
| (cm)                 | تغییر طول عضله         | $\Delta L$          |
| (s)                  | تغییر زمان             | $\Delta t$          |
| (rpm)                | فرکانس طبیعی           | $f$                 |
| (Nm)                 | گشتاور میل‌لنگ         | $M$                 |
| (Nm)                 | گشتاور متوسط           | $M_{\text{Offset}}$ |
| (Nm)                 | گشتاور نقطه‌ی مرگ بالا | $M_{\text{TDC}}$    |
| (cms <sup>-1</sup> ) | سرعت انقباض عضله       | $V$                 |

#### 6- علامی یونانی

زاویه‌ی فاز (deg)  $\alpha_M$

زاویه‌ی پدال (deg)  $\varphi$

فرکانس زاویه‌ای (rpm)  $\omega$

#### 7- زیرنویس‌ها

شماره‌ی فاز  $Ph$

#### 6- مراجع

- [1] M. O. Ericson, J. Ekholm, O. Svensson, R. Nisell, The forces of ankle joint structures during ergometer cycling, *Foot & Ankle*, Vol. 6, No. 3, pp. 135-142, 1985.
- [2] N. A. Hamzaid, R. M. Smith, G. M. Davis, Isokinetic cycling and elliptical

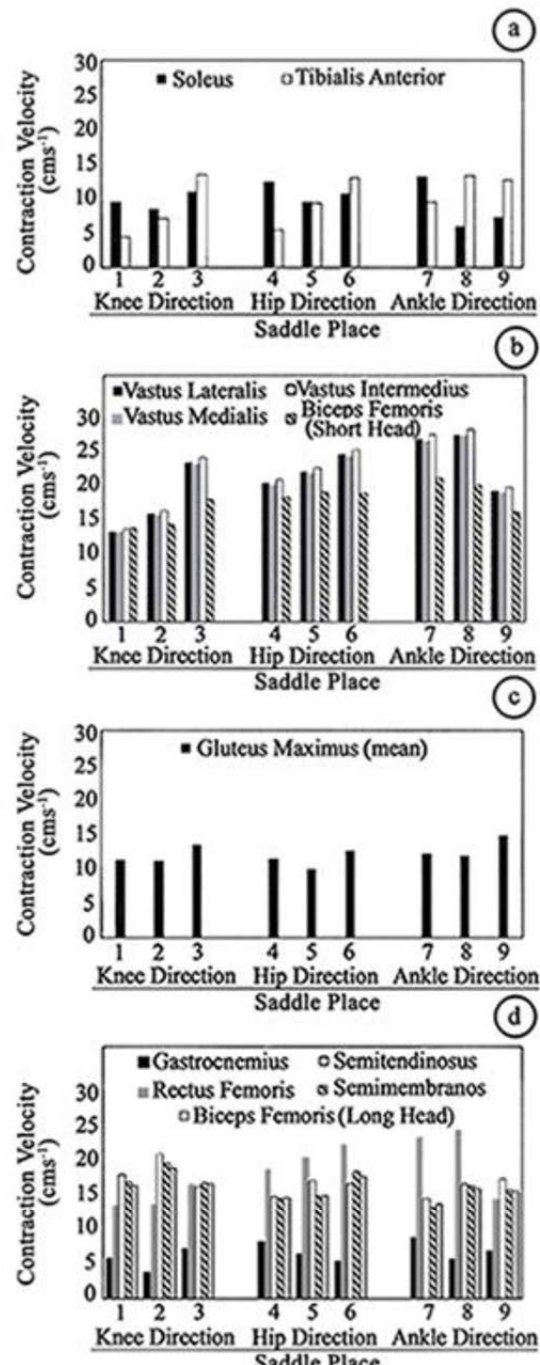


Fig. 7 سرعت انقباض گروه‌های عضله‌ی مچ پا (الف)، زانو (ب)، ران (ج) و دومفصلي (د) در ۹ محل از مسیرهای بهینه (مسیرهای زانو، ران و مچ پا)

نتایج مطالعه‌ی حاضر در مورد عضله‌های نام برده با مطالعه‌ی راگ و گریگور (1987) شاید به این دلیل باشد که در مطالعه‌ی حاضر، فقط میزان کشیدگی عضله‌ها بررسی شده‌است.

کشش عضله‌ها هنگام انقباض (انقباض اکستنریک<sup>1</sup>) منجر به درد، ضعف آسیب و کاهش عملکرد عضلانی [32] می‌شود. پس، اگر عضله‌ای آسیب

<sup>1</sup>Eccentric

- [19] Y.-H. Shin, J.-S. Choi, D.-W. Kang, J.-W. Seo, J.-H. Lee, J.-Y. Kim, D.-H. Kim, S.-T. Yang, G.-R. Tack, A study on human musculoskeletal model for cycle fitting: comparison with EMG, *World Academy of Science, Engineering and Technology, International Journal of Medical, Health, Biomedical, Bioengineering and Pharmaceutical Engineering*, Vol. 9, No. 2, pp. 92–96, 2015.
- [20] M. Fathi, F. Najafi, Dynamic Modeling of the Human Lower Limb Interacting with a Pneumatic Actuator and its Parameters Identification for Rehabilitation, *Modares Mechanical Engineering*, Vol. 13, No. 13, pp. 200–213, 2014. (in Persian) (فارسی)
- [21] M. R. Azghani, E. Hazrati, The Effect of Pedaling Rate and Resistance against Pedaling in Feasible Pedaling Places on Leg Muscles and Joints Behaviors in Ergometer: A Parametric Study, *Iranian Journal of Biomedical Engineering*, Vol. 11, No. 1, pp. 11–20, 2017. (in Persian) (فارسی)
- [22] M. Damsgaard, J. Rasmussen, S. T. Christensen, E. Surma, M. De Zee, Analysis of musculoskeletal systems in the AnyBody Modeling System, *Simulation Modelling Practice and Theory*, Vol. 14, No. 8, pp. 1100–1111, 2006.
- [23] M. Mirakhorlo, M. R. Azghani, S. Kahrizi, Validation of a musculoskeletal model of lifting and its application for biomechanical evaluation of lifting techniques, *Journal of Research in Health Sciences*, Vol. 14, No. 1, pp. 23–28, 2013.
- [24] S. D. Farahani, W. Bertucci, M. S. Andersen, M. De Zee, J. Rasmussen, Prediction of crank torque and pedal angle profiles during pedaling movements by biomechanical optimization, *Structural and Multidisciplinary Optimization*, Vol. 51, No. 1, pp. 251–266, 2015.
- [25] E. Hazrati, M. R. Azghani, The effect of saddle height and saddle position changes from pedal on muscles and joints behaviors in ergometer: A parametric study, *Submitted to Proceedings of the Institution of Mechanical Engineers Part H: Journal of Engineering in Medicine*, 2017.
- [26] C. Cael, *Functional anatomy: musculoskeletal anatomy, kinesiology, and palpation for manual therapists*, pp. 337–409, New York: Lippincott Williams and Wilkins, 2011.
- [27] R. A. Palmitier, K.-N. An, S. G. Scott, E. Y. Chao, Kinetic chain exercise in knee rehabilitation, *Sports Medicine*, Vol. 11, No. 6, pp. 402–413, 1991.
- [28] J. R. Blackburn, M. C. Morrissey, The relationship between open and closed kinetic chain strength of the lower limb and jumping performance, *Journal of Orthopaedic & Sports Physical Therapy*, Vol. 27, No. 6, pp. 430–435, 1998.
- [29] J. Augustsson, A. Esko, R. Thomeé, U. Svantesson, Weight training of the thigh muscles using closed versus open kinetic chain exercises: a comparison of performance enhancement, *Journal of Orthopaedic & Sports Physical Therapy*, Vol. 27, No. 1, pp. 3–8, 1998.
- [30] J. D. Sanderson, A. T. Amoroso, The influence of seat height on the mechanical function of the triceps surae muscles during steady-rate cycling, *Journal of Electromyography and Kinesiology*, Vol. 19, No. 6, pp. e465–e471, 2009.
- [31] M. Bodor, Quadriceps protects the anterior cruciate ligament, *Journal of Orthopaedic Research*, Vol. 19, No. 4, pp. 629–633, 2001.
- [32] D. G. Allen, G. D. Lamb, H. Westerblad, Skeletal muscle fatigue: cellular mechanisms, *Physiological Reviews*, Vol. 88, No. 1, pp. 287–332, 2008.
- [33] J. Steadman, Nonoperative measures for patellofemoral problems, *The American Journal of Sports Medicine*, Vol. 7, No. 6, pp. 374–375, 1979.
- [34] D. E. Campbell, W. Glenn, Rehabilitation of knee flexor and knee extensor muscle strength in patients with meniscectomies, ligamentous repairs, and chondromalacia, *Physical Therapy*, Vol. 62, No. 1, pp. 10–15, 1982.
- [35] C. A. Wozniak Timmer, Cycling biomechanics: a literature review, *Journal of Orthopaedic & Sports Physical Therapy*, Vol. 14, No. 3, pp. 106–113, 1991.
- [36] J. E. Kovaleski, R. J. Heitman, D. P. S. Andrew, L. R. Gurchiek, A. W. Pearall IV, Relationship between closed-linear-kinetic-and open-kinetic-chain isokinetic strength and lower extremity functional performance, *Journal of Sport Rehabilitation*, Vol. 10, No. 3, pp. 196–204, 2001.
- [37] T. E. Johnston, Biomechanical considerations for cycling interventions in rehabilitation, *Physical Therapy*, Vol. 87, No. 9, pp. 1243–1252, 2007.
- [38] R. R. Bini, P. A. Hume, A. E. Kilding, Saddle height effects on pedal forces, joint mechanical work and kinematics of cyclists and triathletes, *European Journal of Sport Science*, Vol. 14, No. 1, pp. 44–52, 2014.
- [39] S. Rugg, R. Gregor, The effect of seat height on muscle lengths, velocities and moment arm lengths during cycling, *Journal of Biomechanics*, Vol. 20, No. 9, pp. 899, 1987.
- [40] J.-S. Choi, D.-W. Kang, J.-W. Seo, J.-H. Bae, G.-R. Tack, Effects of Increased Saddle Height on Length and Activity Pattern of Vastus Lateralis and Biceps Femoris Muscle, *Korean Journal of Sport Biomechanics*, Vol. 22, No. 4, pp. 413–419, 2012.
- [41] R. R. Bini, A. C. Tamborindeguy, C. B. Mota, Effects of saddle height, pedaling cadence, and workload on joint kinetics and kinematics during cycling, *Journal of Sport Rehabilitation*, Vol. 19, No. 3, pp. 301–314, 2010.
- [42] V. Ferrer-Roca, A. Roig, P. Galilea, J. García-López, Influence of saddle height on lower limb kinematics in well-trained cyclists: static vs. dynamic evaluation in bike fitting, *The Journal of Strength & Conditioning Research*, Vol. 26, No. 11, pp. 3025–3029, 2012.
- [43] K. S. Nordeen-Snyder, The effect of bicycle seat height variation upon oxygen consumption and lower limb kinematics, *Medicine and Science in Sports*, Vol. 9, No. 2, pp. 113–117, 1977.
- [44] R. R. Bini, P. A. Hume, F. J. Lanferdin, M. A. Vaz, Effects of moving forward or backward on the saddle on knee joint forces during cycling, *Physical Therapy in Sport*, Vol. 14, No. 1, pp. 23–27, 2013.
- [45] D. Price, B. Donne, Effect of variation in seat tube angle at different seat heights on submaximal cycling performance in man, *Journal of Sports Sciences*, Vol. 15, No. 4, pp. 395–402, 1997.
- [46] R. R. Bini, P. A. Hume, J. L. Croft, Effects of bicycle saddle height on knee injury risk and cycling performance, *Sports Medicine*, Vol. 41, No. 6, pp. 463–476, 2011.
- [47] M. O. Ericson, R. Nisell, G. Németh, Joint motions of the lower limb during ergometer cycling, *Journal of Orthopaedic & Sports Physical Therapy*, Vol. 9, No. 8, pp. 273–278, 1988.